

京大 正員 下島崇一, 京大 正員 石原安雄, 京大大学院 学生員 古谷博司

§1. はしがき

実際の雨水浸透の場は多層である。そこで、本文ではその運動場を二層に单纯化し、そこでは生起する鉛直不飽和浸透現象を実験結果を参照しながら考察したものである。

§2. 実験方法及び使用砂

実験に使用した砂は図-1に示した3種類である。内径18.5cm, 長さ170cmの透明アクリル樹脂製の円筒を使用し、その中に砂を充填して、上層が細砂、下層が粗砂の場合及びその逆の場合の浸透場を作成。実験時の境界条件としては、上端での湛水深(h_w)をほむ1cmとし、下端条件は開放及び閉塞の場合の2通りであり、一方、初期条件としてはいずれの場合も自然乾燥状態の砂を使用した。実験では、浸透強度 f 、土壌水分 θ (静電容量式)及び間隙空気圧 p_a (計測位置は円筒下部)を計測したが詳細は参考文献(1,2,3)を参照されたら。

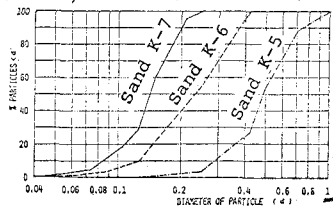


図-1. 粒度分布

§3. 細砂から粗砂への浸透

§3-1. 開放の場合： wetting front が層境界(junction)を通過の際、その前後の capillary potential (ψ) の連続性を考慮すると、 θ と f の関係より front の一時的停止(あるいは遅延)が予想される。図-2,3は K-7/K-5系に於ける浸透強度 f および wetting front の移動の様子を、また図-4は front が junction 通過直後までの上層の土壤水分の変化の様子を示したものである。これらより、front が junction 通過直後、 θ の急激な増加、front の移動速度の遅れ、及び f が一旦急激に cm^{-1} 減少し再度増加(そして一定値 f_{∞} に移行)することはとくに判る。この場合、下層では“部分流”的生起していることが定量的にも評価されるが、 f_{∞} の特性よりすれば、Hill & Parlange の実験の様に junction 直下の “induction zone” が存在する様であるが、 $f_{\infty} = k_7 \cdot s(1 + \frac{f_{\infty}}{k_7})$ 。⁴⁾ k_7, s : 粗砂の飽和透水係数、 s : 粗砂層厚、の関係は成立しない。また、front の junction 通過後の遷移時間は L_f が小ほど大となる結果となる。なお、K-7/K-5系と比べ粒径差の小さな

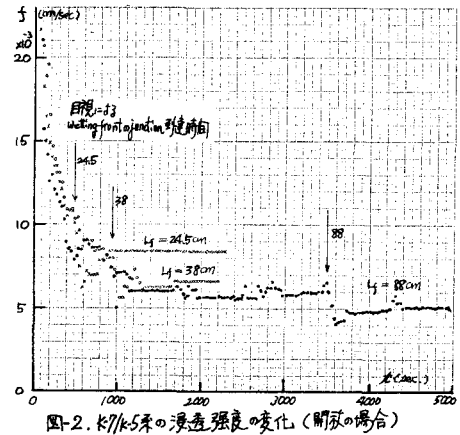


図-2. K7/K5系の浸透強度の変化(開放の場合)

K-7/K-6系での下層では、ある一定の土壤水分をもつて wetting front が一定の相速度で移動する“不飽和浸透流”(部分流ではない)であることが定量的に判る。また、junction 通過時の浸透特性は同様である。図-5は K-7/K-6系での f, p_a などの測定結果である。wetting front が junction 通過の際、 f, p_a に急激な変化が生じている。この空気圧の変化は、§3-1. で述べた土壤水分の急増(=の場合にも計算されていて)に基因する。また、一連の空気圧の変化は、間隙空気の間断的放出を考慮すると、砂の air entry value, f_{air} による飽和領域の形成

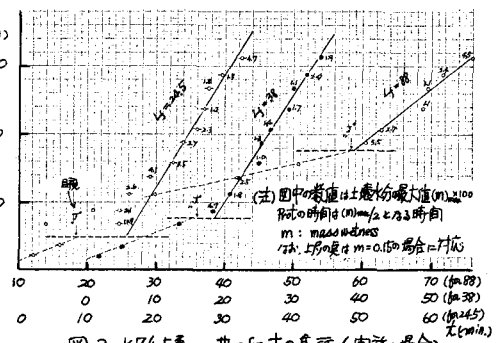


図-3. K7/K5系のwetting frontの進行(開放の場合)

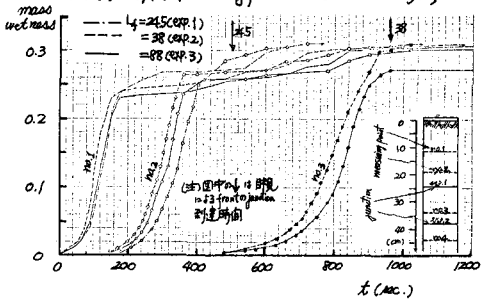


図-4. K7/K5系の土層部の土壤水分の變化(開放の場合)

発達²⁾より定量的に評価出来る。特に K_7/k_5 条では、開放の場合と異り下層では不飽和浸透流が生起(定量的に評価される)したが、これは間隙空気の役割として興味深い。次に飽和領域の形成は、開放で部分流が生じない場合、細砂層でのみ生じる(理論的に証明可能)が、閉塞の場合は理論的には明確でない。しかし、本実験(例えば、 K_7/k_6 条; $L_f = 13, 24, 5, 38, 64, 88 \text{ cm}$)の範囲では、それは上層にのみ存在していい。もし、下層にまで発達するなら、その際には兩層の air entry value の相違より、一旦危に減少するところが予想されよう。

§4. 粗砂から細砂への浸透

§4-1. 開放の場合： wetting front が junction を通過の際、³⁾ 83 と同様な考察より加速されることが予想出来る。図-7 は粗砂層厚 $L_c = 64 \text{ cm}$ の K_6/k_7 条の実験例である。 f は front の junction 通過の際、急な減少が一旦緩和されている。この事実は、J.R. Philip の Delta function approach (Green & Ampt model) を適用すると、front が junction 通過時 (t_f) に f は不連続に急増する = と、すなは $f(t_f) - f(t_f^-)$; t_f^- と t_f との $(t_f^- - t_f)$ の値は L_c が大きくなるほど大きくなる = と等が判るが、実際には front は中を有する点に注目すれば、一応の説明が可能である。

§4-2. 閉塞の場合： 図-8 は、 $L_c = 64 \text{ cm}$ の K_6/k_7 条の実験例である。wetting front が junction 通過の際、 f は一旦ほぼ一定の値となり、その後危険減する = とが判る。また、この一定区間は $L_f = 38, 64, 88 \text{ cm}$ の場合、 L_c が大きくなるほど大きくなる = とが判る。このことは、§4-1. の議論から類推出来する。一方、 f は、 f が危険減する = と同時に急上界を示している。粗砂/細砂の系では、飽和領域の形成は土層のみとは限らず、また上層でも給水面及び junction 面から発達が可能である。仮に給水面から発達するなら、junction 通過の際の air entry value (f_e) の相違により f は危険減する = とが予想される。図-8 はこの場合に付随し、 $t = 6000 \sim 8000 \text{ sec}$ の危険増は junction 通過時の特性である = とが、D の計測より $I_s + h_w - f_e = f$ が $-f_a$ と I_s : 飽和域の長さ、の関係より評価出来る。なお、 $L_c = 88 \text{ cm}$ の場合は飽和域が junction 面からも発達していた = とが判る。反対に、このことは L_c の大きさとの因果と考えられる。一方、粒径差の大きな K_5/k_7 条では、上層は下層に付随して基水深と同様の傾斜を演ずる = とが判る。

§5. まとめ

以上、二層砂層での浸透現象を junction の存在に注目して述べたが、特に空気の閉塞のある場合、現象論的記述に停まりおり、今後詳細な mechanism の究明が必要である。

<参考文献>

- 1) 石原・下島：鉛直不飽和浸透における間隙空気の影響に関する実験的研究、第3回土壤学会講演集
- 2) 石原・下島：閉塞單一砂層への雨水浸透に関する研究、東京大学農科大学論文
- 3) 古谷：砂層への雨水浸透に関する実験的研究、東大(修士)論文

- 4) Hill & Parlange: wetting front instability in layered soil, Soil Science Soc. of America 1972
- 5) Philip : The theory of infiltration: 4. Seepage and algebraic infiltration equations, Soil Science 1957

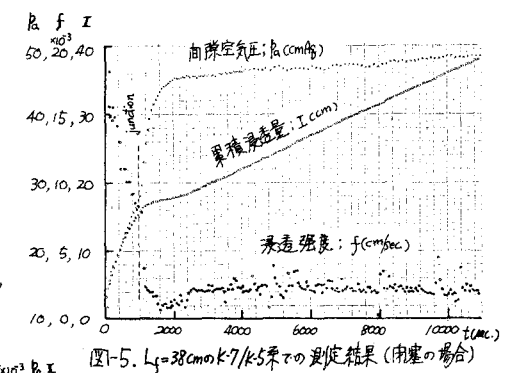


図-5. $L_f = 38 \text{ cm}$ の K_7/k_5 条での測定結果(閉塞の場合)

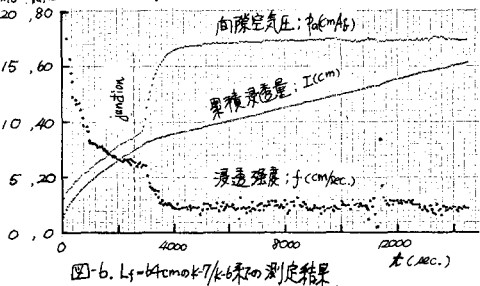


図-6. $L_f = 64 \text{ cm}$ の K_6/k_7 条での測定結果(閉塞の場合)

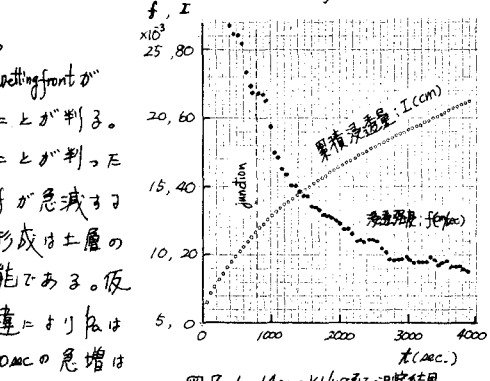


図-7. $L_c = 64 \text{ cm}$ の K_6/k_7 条での測定結果(開塞の場合)

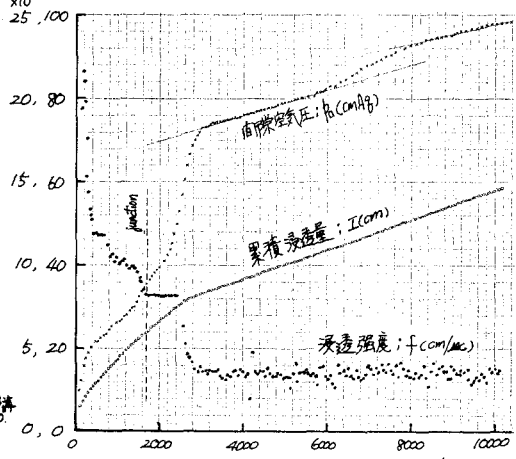


図-8. $L_c = 64 \text{ cm}$ の K_6/k_7 条での測定結果(閉塞の場合)